



浙江省

2026.1
2025.12
2025.11
2025.10
2025.9
2025.8
2025.7
2025.6
2025.5
2025.4

QUANPIN XUANKAO FUXI FANG'AN

全品
选考

地理

复习方案

主编：肖德好

作业手册

天津出版传媒集团
天津人民出版社

课时通关练

第 1 讲 地球与地图	251
第 2 讲 等高线地形图	253
第 3 讲 地理信息技术及应用	255
第 4 讲 宇宙中的地球	257
真题演练 1 地球、地图与地理信息技术	259
第 5 讲 地球自转的意义	260
第 6 讲 地球公转的意义	262
真题演练 2 地球运动的地理意义	264
第 7 讲 岩石圈的物质循环	266
第 8 讲 内力作用与地表形态	268
第 9 讲 外力作用与地表形态	270
第 10 讲 人类活动与地表形态	273
真题演练 3 地表形态	275
第 11 讲 大气的分层与受热过程	277
真题演练 4 大气受热过程与运动	280
第 12 讲 气压带、风带与季风环流	281
第 13 讲 气压带、风带与气候	284
第 14 讲 全球气候类型	286
真题演练 5 气候	288
第 15 讲 天气系统	290
真题演练 6 天气系统	292
第 16 讲 水循环	294
第 17 讲 陆地水体间的相互关系	296

真题演练 7 陆地水与水循环	299
第 18 讲 海水的性质和运动	301
第 19 讲 海—气作用与人类活动	304
真题演练 8 海水运动	306
第 20 讲 植被与土壤	308
第 21 讲 自然环境的整体性	311
第 22 讲 自然环境的地域差异性	313
真题演练 9 整体性与差异性原理及应用	315
第 23 讲 气象灾害	317
第 24 讲 地质灾害	320
真题演练 10 自然灾害与防灾减灾	322
第 25 讲 人口分布与人口迁移	324
第 26 讲 人口增长与人口容量	326
真题演练 11 人口相关问题	328
第 27 讲 城乡空间结构与区位	330
第 28 讲 城乡景观与城镇化	333
真题演练 12 城乡相关问题	335
第 29 讲 农业区位因素	336
第 30 讲 农业布局	338
真题演练 13 农业及可持续发展	340
第 31 讲 工业区位因素与工业布局	342
真题演练 14 工业及可持续发展	344

第 32 讲	服务业的区位选择	346
第 33 讲	交通运输与区域发展	348
真题演练 15	服务业与交通发展	351
第 34 讲	区域差异与区域联系	353
第 35 讲	我国区域发展战略	355
真题演练 16	区域与区域发展	357
第 36 讲	大都市的辐射功能	358
第 37 讲	资源枯竭型地区转型与产业优化	361
真题演练 17	城市群与城市优化转型	363
第 38 讲	生态脆弱区的综合治理	364
第 39 讲	资源跨区域调配	366
第 40 讲	流域协作开发	368

第 41 讲	产业转移与“一带一路”倡议	370
真题演练 18	区域合作开发	372
第 42 讲	资源、环境与人类活动	374
第 43 讲	耕地资源、水资源与国家安全	377
第 44 讲	矿产资源、石油资源与国家安全	379
第 45 讲	碳排放与生态安全	381
第 46 讲	污染物跨境转移与环境安全	383
真题演练 19	资源、环境与国家安全问题分析	385
第 47 讲	世界地理概况	387
第 48 讲	世界地理分区	390
第 49 讲	中国地理概况	393
第 50 讲	中国地理分区	396

特色强化练

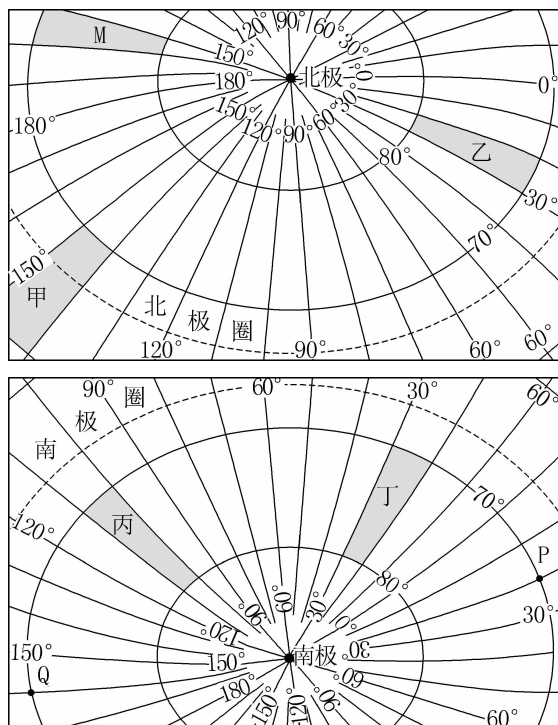
答题突破 1	地理位置的判断与描述	399
答题突破 2	地形特征的判读与描述	400
答题突破 3	地貌形成过程的描述	401
答题突破 4	气候特征的描述	402
图形解读 1	地质剖面图	403
图形解读 2	河流流量曲线图	404
图形解读 3	垂直自然带谱图	406
图形解读 4	循环经济关联图	407
热点压轴	选择题（一） 天体的观测	409
热点压轴	选择题（二） 太阳视运动	410
热点压轴	选择题（三） 天气现象分析	412

热点压轴	选择题（四） 海—气—水热平衡原理 与应用	414
热点压轴	综合题（一） 水平衡原理的应用 分析	416
热点压轴	综合题（二） 区域产业发展分析	417
热点压轴	综合题（三） 区域生态问题分析	419
热点压轴	综合题（四） 区域发展问题分析	421
热点压轴	综合题（五） 资源安全措施类分析	423

参考答案

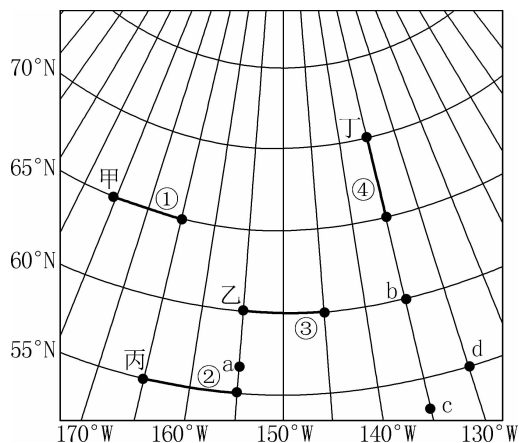
第1讲 地球与地图

[2024·浙江杭州质检] 下图为以北极、南极为中心的经纬网俯视图。据此完成1~2题。



- 下列与 M 区域面积相等并且符合互相对跖的区域是 ()
A. 甲 B. 乙 C. 丙 D. 丁
- 一架飞机从 P 点飞往 Q 点,其最短航线是 ()
A. 先向东南,再向东北
B. 先向正南,再向正北
C. 先向西北,再向西南
D. 沿纬线一直向西

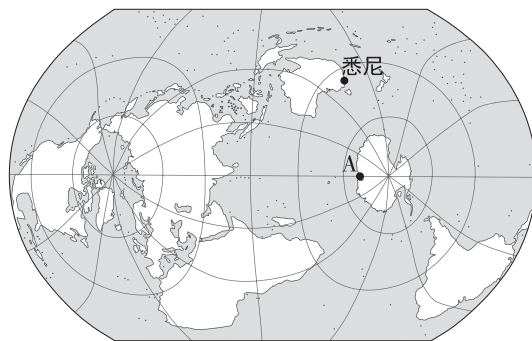
下图为世界某地区经纬网图。2021年6月21日,一架飞机途经该地区时发现飞机的正前(正北)是丁地,且此时飞机位于甲地东南、乙地正东、丙地东北。据此完成3~4题。



- 图中四条沿经纬线的短粗线中,实地长度最短的是 ()
A. ① B. ② C. ③ D. ④

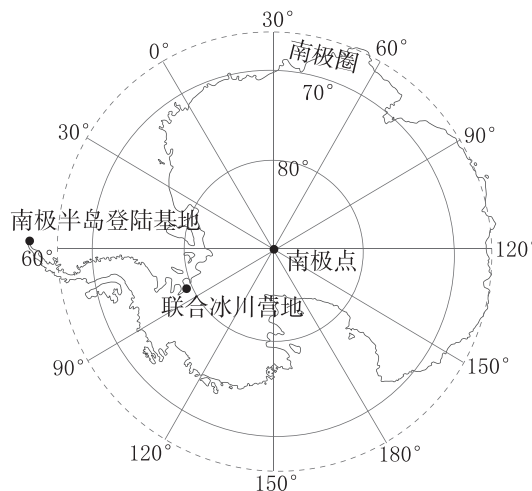
- 此时,该飞机的位置和飞行方向是 ()
A. a、向正东飞行 B. b、向正北飞行
C. c、向正西飞行 D. d、向正南飞行

[2024·浙江宁波模拟] 纬线世界地图是按照纬线分割地球仪,以纬线为纵坐标线、经线为横坐标线来绘制的世界地图。下图为纬线世界地图,有一艘科考船从悉尼出发,到图中 A 地进行科学考察。读图完成5~6题。



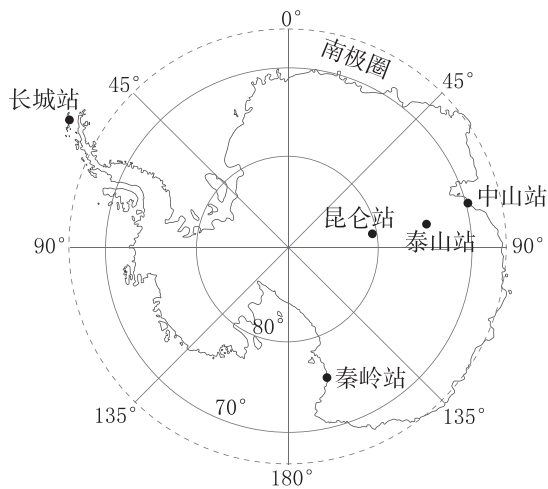
- 图中悉尼位于 A 地的 ()
A. 西北方 B. 东南方
C. 西南方 D. 东北方
- 对跖点是地球同一直径的两个端点,图中 A 点与其对跖点 ()
A. 都位于东半球
B. 地方时总是相差 12 小时
C. 不可能同时属于同一日期
D. 球面最短距离相差 18 000 千米

随着交通的进步,南极旅游也变得越来越热门。某旅行社推出了两条南极旅行线路,第一条线路是先坐飞机到南极附近的联合冰川营地(79°45'S, 82°30'W),然后飞往南极点,在南极点观赏美景后返回;第二条线路是坐游轮登陆南极半岛,在南极半岛观赏极地风光。下图为南极洲简图。据此完成7~8题。



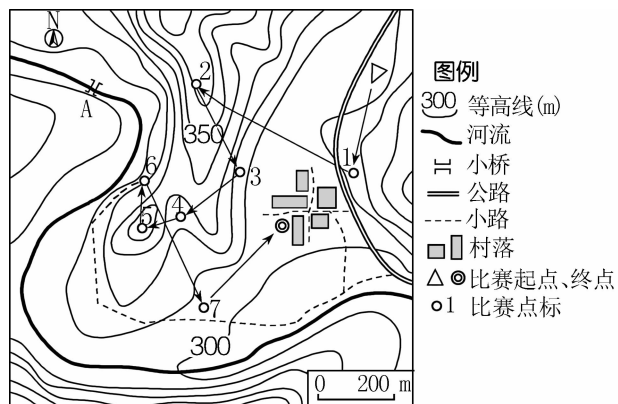
7. 一直升机从南极半岛登陆基地出发,飞往南极点,飞机飞行的最短距离最近 ()
- A. 2000 千米
B. 2140 千米
C. 2221 千米
D. 2664 千米
8. 若某旅行团从南极半岛登陆基地出发,坐游轮顺时针绕南极大陆航行一周,所经过的大洋依次是 ()
- A. 太平洋—印度洋—大西洋
B. 大西洋—印度洋—太平洋
C. 太平洋—大西洋—印度洋
D. 大西洋—太平洋—印度洋

下图为我国南极科学考察站分布示意图。据此完成 9~10 题。



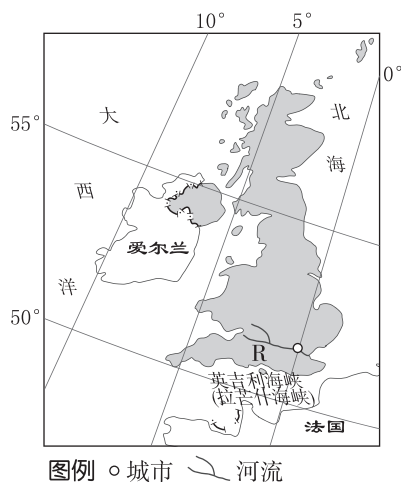
9. 图示五个考察站地理位置的共同特点是 ()
- A. 位于东半球 B. 位于南寒带
C. 位于高纬度 D. 位于西半球
10. 长城站位于中山站的 ()
- A. 东南方 B. 东北方
C. 西南方 D. 西北方

定向越野运动是指运动员利用地图和指南针到访地图上所指示的各个点标,以最短时间按顺序经过所有点标并到终点者为胜。某中学组织郊区定向越野活动,下图为比赛区域图。完成 11~12 题。



11. 关于图中各点标路段的说法,正确的是 ()
- A. 1~2 路段全程上坡
B. 3 点标处可看见 6 点标处
C. 3~4 路段实际路线长度短于 200 米
D. 4、5 点标处海拔可能相同
12. A 桥处的河流流向为 ()
- A. 自西北流向东南
B. 自西南流向东北
C. 自东南流向西北
D. 自东北流向西南

13. (13 分)下图为某岛国(阴影区所示)略图。读图完成下列要求。

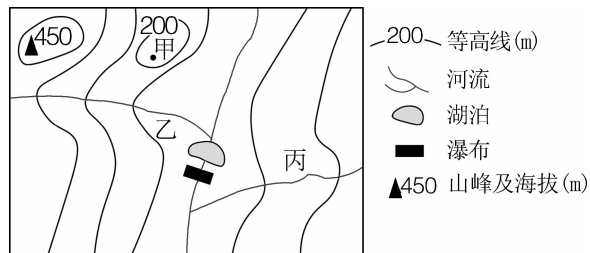


(1)据图概括该岛国地理位置的特点。(5 分)

(2)分析该岛国地理位置对 R 河水文特征的影响。(8 分)

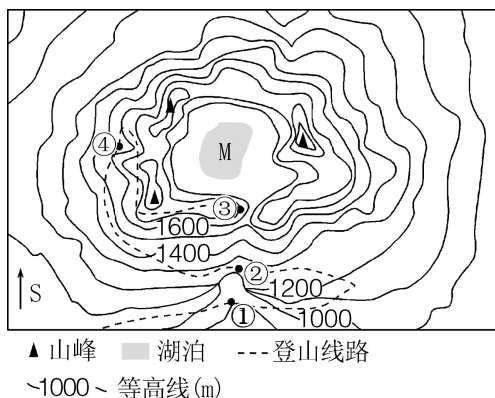
第2讲 等高线地形图

[2024·浙江杭州重点高中月考] 暑假,某中学地理研学小组到我国某小流域源头地区进行实地考察,并将实地考察的相关信息绘制成图(下图)。图中等高距为100米,瀑布的高差为30米。完成1~2题。



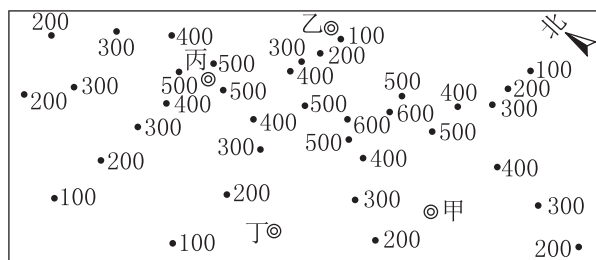
1. 图中甲处与湖泊沿岸的相对高度可能为 ()
A. 60米 B. 170米
C. 280米 D. 300米
2. 与乙河流相比,丙河流 ()
A. 流水下切作用强 B. 发育多级阶地地貌
C. 河流输沙量较小 D. 下游洪水泛滥成灾

[2024·浙江重点高中阶段考试] 下图示意某山等高线地形图和登山线路,雨季M湖湖水经常外泄。“十一黄金周”期间,小明与朋友一起来这里登山。据此完成3~4题。



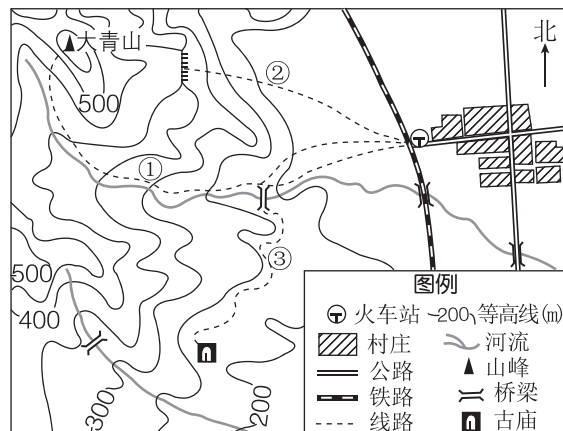
3. M湖湖水外泄处的海拔可能是 ()
A. 1180米 B. 1520米
C. 1380米 D. 1640米
4. 登山路线上,雨季时有一瀑布,其最佳观景地点位于 ()
A. ① B. ② C. ③ D. ④

下图是华北地区某地实测的海拔高度数据图。读图完成5~6题。



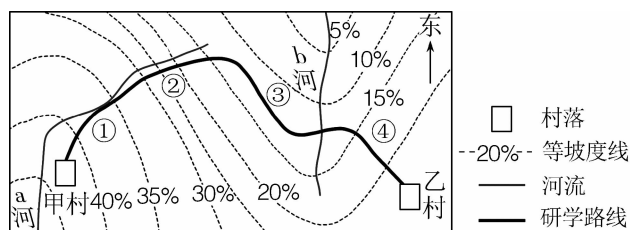
5. 根据图中信息,说法正确的是 ()
A. 坡度:甲<乙 B. 气温:丙>丁
C. 降水:乙<丁 D. 海拔:甲>丙
6. 图中四地中,林木分布最茂密的是 ()
A. 甲地 B. 乙地
C. 丙地 D. 丁地

某校师生从下图中火车站出发,进行春游活动,并设计了不同主题三条徒步线路。读图,完成7~8题。



7. 图中所示区域适合师生开展一天的春游活动,该图最有可能的比例尺是 ()
A. 1:100 000 B. 1:1 000 000
C. 1:100 D. 1:1000
8. 有关线路①②③的正确叙述是 ()
A. 线路①沿山脊前进,可体验攀岩
B. 线路②沿坡而上,最短、最平缓
C. 线路③向西南前进,可参观古庙
D. 三条线路都可以在过桥时拍照留念

[2024·浙南地区重点中学联考] 坡度表示地表陡缓的程度,百分比是表示坡度常用的方法之一,即坡度=(高程差/路程)×100%。同一等坡度线上各点地表坡度值相等。下图是我国西南某区域的等坡度线示意图,图中河流均为源头上游河段。某高中地理研学小组徒步从甲村到乙村考察,路线长度约6千米。两村建筑多就地取材。完成9~10题。

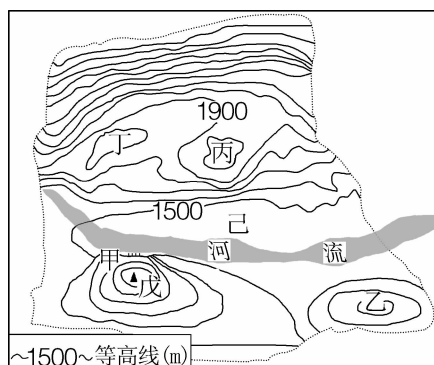


9. 研学小组行走最为费力的路段是 ()
A. ①段 B. ②段
C. ③段 D. ④段

10. 图中两村落 ()

- A. 广泛种植小麦 B. 乙村海拔更高
C. 多吊脚楼建筑 D. 航运交通便利

下图为长江中下游某地等高线图,此时山顶戊的影子正好位于己,且是该日最短的影长。读图,完成 11~12 题。



11. 图中河流的大体流向为 ()

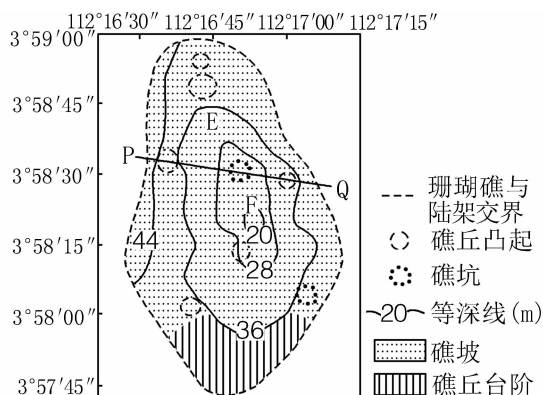
- A. 自西南向东北 B. 自东向西
C. 自西北向东南 D. 自东北向西南

12. 分析图中的等高线,存在滑坡体的地点是 ()

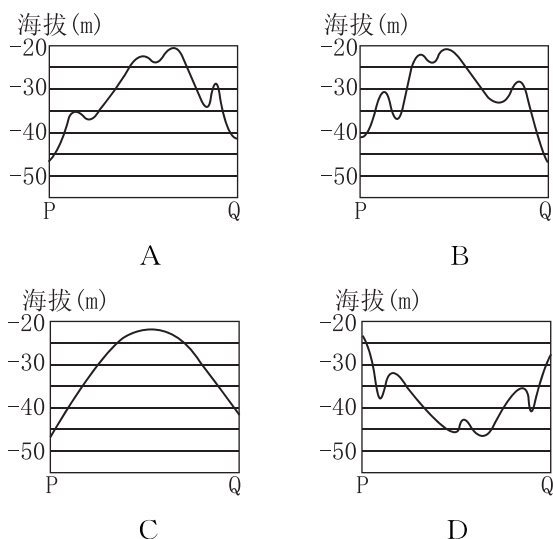
- A. 甲 B. 乙 C. 丙 D. 丁

[2024—2025·浙江杭州重点中学返校测试]

我国领土的最南端曾母暗沙是一处完全淹没在水下的珊瑚礁体。读曾母暗沙地形图,完成 13~14 题。



13. 下列是沿 P—Q 线所画的四幅剖面图,正确的是 ()



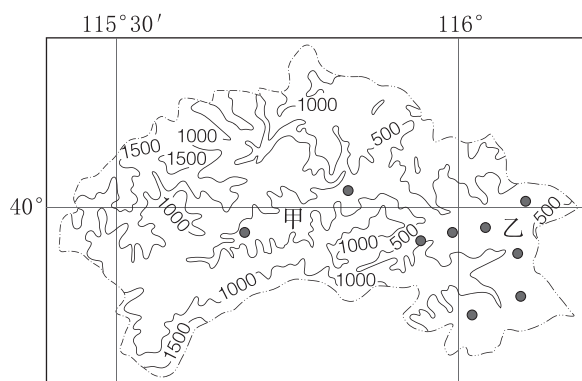
14. 图中 E、F 两地的相对高度最可能是 ()

- A. 5 米 B. 15 米
C. 20 米 D. 30 米

15. (16 分) 阅读图文材料,完成下列要求。

材料一 2023 年 7 月 29 日 20 时至 8 月 2 日 7 时,受台风“杜苏芮”残余势力影响,京津冀地区发生极端暴雨事件,北京市气象局称其为“140 年以来最大降雨量”。这次暴雨洪水的极端性体现在:一是降雨强度大,二是持续时间长,三是洪水来势很猛,四是灾情非常严重。

材料二 北京市门头沟区是这次极端暴雨的重灾区。下图为北京市门头沟区等高线图。



图例 ● 城镇 — 500— 等高线(m)

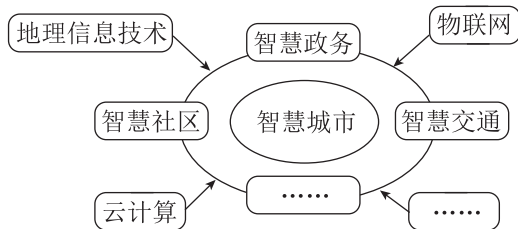
(1) 描述门头沟的地形特征。(3 分)

(2) 推测门头沟此次极端暴雨产生的原因。(6 分)

(3) 甲、乙两地涝灾更严重的是 _____ 地,并说明理由。(7 分)

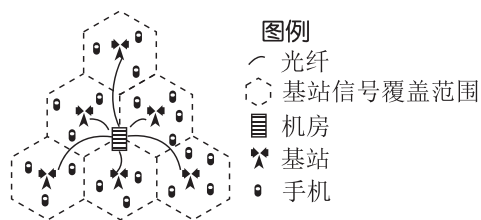
第3讲 地理信息技术及应用

智慧城市应用场景已经清晰可见,比如智慧交通包含电子警察、视频监控、信号控制、交通类平台、智能公交等,正在越来越多的城市普及应用。完成1~2题。



1. 智慧城市建设对城市发展最重要的作用是 ()
A. 调整地域结构 B. 加速人口集散
C. 扩大空间规模 D. 提升服务功能
2. 利用测速雷达获取车辆高速公路超速行驶的证据,主要应用的技术是 ()
A. GIS B. RS C. GNSS D. VR

目前,我国正在大力建设5G网络,下图为5G手机通过无线连接基站再接入互联网的示意图。完成3~4题。

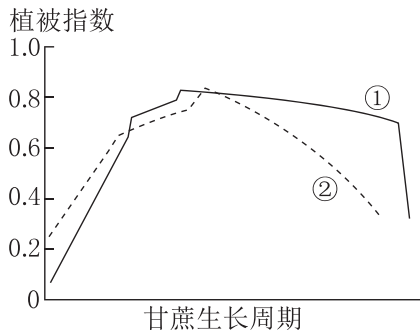


3. 布局基站所采用的主要地理信息技术是 ()
A. 全球定位系统 B. 遥感
C. 地理信息系统 D. 北斗卫星导航系统
4. 5G基站选址考虑的主要区位因素是 ()
A. 机房位置 B. 光纤线路
C. 人口分布 D. 交通条件

[2024·浙江温州适应性考试] 广西某甘蔗产区分为基地甘蔗(规模化经营,集中播种和收获)和非基地甘蔗(小农户传统方式经营)两类甘蔗地块。农业遥感常用植被指数反映农作物状况,数值高表示农作物覆盖率高、生长状况好。图(a)示意该甘蔗产区某时刻遥感影像,图(b)为该甘蔗产区两类甘蔗地块的植被指数变化图。完成5~6题。



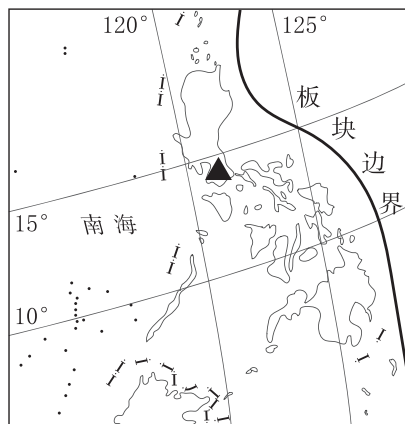
(a)



(b)

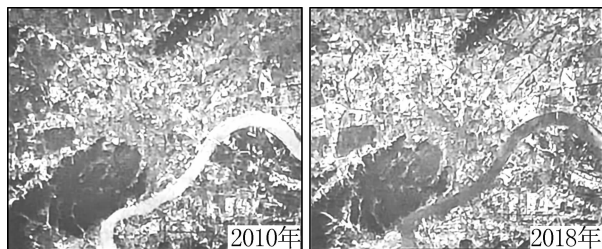
5. 代表基地甘蔗地块及其植被指数的组合是 ()
A. 甲、① B. 甲、②
C. 乙、① D. 乙、②
6. 利用遥感调查甘蔗生长状况,有助于 ()
A. 获取病害状况,精确喷洒农药
B. 预测天气变化,评估甘蔗产量
C. 缩短生长周期,错峰占领市场
D. 改变种植结构,减少化肥施用

2023年6月15日,菲律宾发生里氏6.3级地震,震源深度119千米,下图为此次地震位置示意图。完成7~8题。



7. 图示板块边界的类型和菲律宾所属板块的名称分别是 ()
A. 消亡边界、欧亚板块
B. 生长边界、欧亚板块
C. 消亡边界、太平洋板块
D. 生长边界、太平洋板块
8. 地理信息技术在地震灾害中的应用有 ()
A. 制定灾区重建计划—遥感技术
B. 监测板块运动和断裂—遥感技术
C. 确定地震震级和烈度—全球卫星导航系统
D. 制定减灾预案,评估灾害损失—地理信息系统

[2024·浙江G7联盟二联] 下图示意2010年、2018年杭州局部区域影像资料。完成9~10题。



9. 获取图示影像资料需要用到地理信息技术的 ()

- A. 定位功能 B. 导航功能
C. 分析功能 D. 收集功能

10. 依据图示不同时期的影像资料可以获知 ()

- A. 人口流动的规模变化
B. 城市商业区地租变化
C. 城市绿地的增减状况
D. 居民区人均居住面积变化

[2024·浙江杭州模拟] 下图为一张二十世纪五六十年代的老照片。照片中的两位科学家为了探索某一地貌景观时保障生命安全,采取了相应的保护措施。如今,我们更多使用无人设备研究这一地区,在获得重要的科学数据的同时,有效减少了研究人员暴露于危险环境中的风险。完成 11~12 题。



11. 与图中地貌类型相同的是 ()

- A. 贺兰山戈壁
B. 西藏札达土林
C. 美国夏威夷基拉韦厄峰
D. 月球探测器着陆月海

12. 使用无人设备研究该地区时,可以 ()

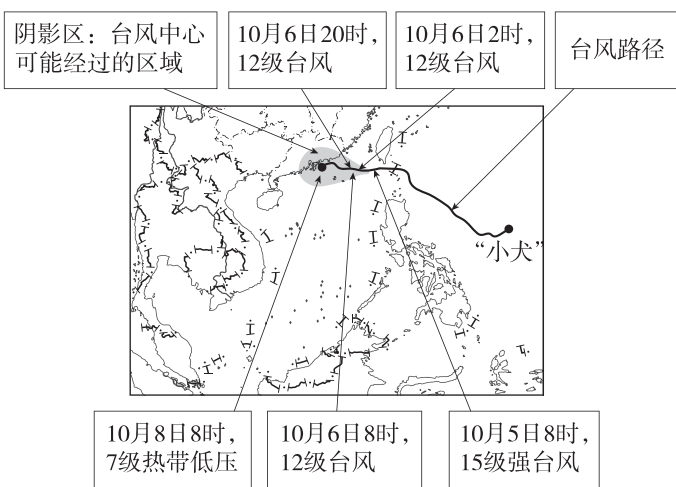
- ①使用 GIS 分析收集到的数据,绘制地图,并预测该地活动变化 ②利用无人机进行实时监控,及时发现异常活动变化,并进行灾害预警 ③通过 BDS 获取调查人员难以到达地区的信息 ④利用虚拟现实技术获取该地区信息参数

- A. ①③ B. ③④ C. ①② D. ②④

[2024·浙江宁波模拟] 下图为 2023 年第 14 号台风“小犬”路径概率预报图。完成 13~14 题。

13. 此次监测台风“小犬”及制作预报图所使用的地理信息技术分别是 ()

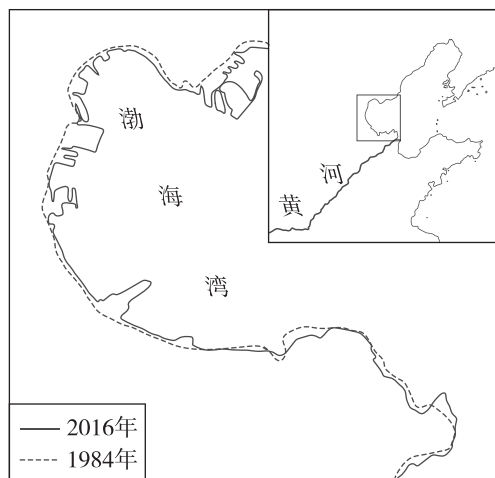
- A. RS、GNSS B. GNSS、GIS
C. GNSS、VR D. RS、GIS



14. 该台风 10 月 9 日下午在广东西部近海减弱为热带低压,可能的原因是 ()

- A. 海温下降 B. 地形起伏变大
C. 寒流流经 D. 海域面积变广

[2024·浙江丽湖衢质检] 渤海湾是环渤海经济圈的海上运输重要通道。下图为渤海湾 1984 年和 2016 年海岸线示意图。完成 15~16 题。



15. 从 1984 年到 2016 年,渤海湾 ()

- A. 海湾的面积减小
B. 海岸线长度缩短
C. 南部海岸线增幅最大
D. 受河流沉积作用强

16. 遥感可以 ()

- A. 获取不同时期海岸线数据
B. 规划海岸线的土地利用方式
C. 叠加不同时期海岸线图层
D. 输出海岸线变化的专题地图

17. 某中学地理兴趣小组借助地理信息技术开展研学活动。研学过程中可实现的是 ()

- A. 用 RS 精准测定山峰高程
B. 用 BDS 确定河流含沙量
C. 用 GIS 计算湖泊的蓄水量
D. 用 RS 估算学校建筑面积

第4讲 宇宙中的地球

[2024·浙江台州模拟] 2023年10月26日,“神舟十七号”载人飞船在酒泉卫星发射中心发射升空,将我国3名航天员顺利送入距离地表约400千米的中国空间站。空间站外部温度高低交替,最高温度达到 200°C ,最低温度达到 -120°C 。结合所学知识,完成1~2题。

1. 下列有关航天员在太空生活的描述,可信的是 ()
- A. 可见大量流星划过天幕
B. 使用哑铃健身
C. 汗水不能直流
D. 手中的五星红旗迎风飘扬
2. 空间站外部温差大的原因是 ()
- A. 距离太阳较近 B. 月球体积、质量较小
C. 大气层稀薄 D. 距离地球较远

[2024·浙江湖州模拟] 读黄山云海、雪景“同框”景观图,完成3~4题。



3. 云海、雪景“同框”,美得令人心醉,引得游人流连忘返。“云”和“雪”所属的主要圈层依次为 ()
- ①大气圈 ②生物圈 ③水圈 ④岩石圈
- A. ①② B. ①③
C. ②④ D. ③④
4. 图中 ()
- A. 岩石圈包括地壳和上地幔
B. 大气圈仅由气体组成
C. 生物圈是地球上所有生物的总称
D. 水圈是连续但不规则的圈层

2022年6月,科考人员在加拿大一金矿区发现了一只冰封了3万多年的新生代小猛犸象化石(图甲,猛犸象复原图如图乙)。这是北美地区迄今为止发现的第一个几近完好的猛犸象化石,令所有专家都激动不已。据此完成5~6题。

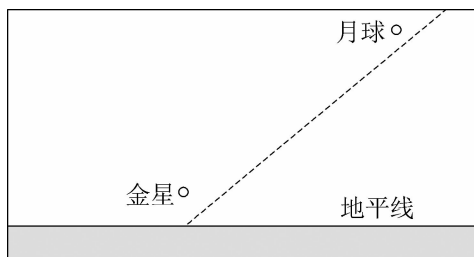


甲

乙

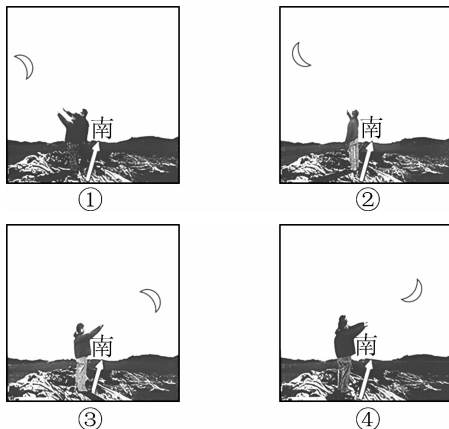
5. 猛犸象繁盛时期 ()
- A. 裸子植物繁盛 B. 海洋蓝藻开始出现
C. 被子植物繁盛 D. 陆地低等植物出现
6. 在发现猛犸象化石的地层中,科考人员还可能发现 ()
- A. 三叶虫化石 B. 可开采的铁矿
C. 恐龙化石 D. 其他哺乳动物化石

[2024·浙江绍兴检测] 北京时间某年4月22日(农历三月初三)8时左右,浙江某地(30°N , 120°E)地理教师利用手机App得到了金星与月球的位置关系图。据此完成7~8题。



7. 某同学在若干日后18时左右,观测到月球位于上中天(月球升至当天最高)附近,该日可能是 ()
- A. 4月23日 B. 4月27日
C. 5月1日 D. 5月5日
8. 若4月22日天气晴朗,关于该日金星、月球的观测,正确的是 ()
- A. 金星早于月球升起
B. 晚上可于西方天空观测到金星
C. 日落时月球位于东方天空
D. 月球先于太阳没入地平线

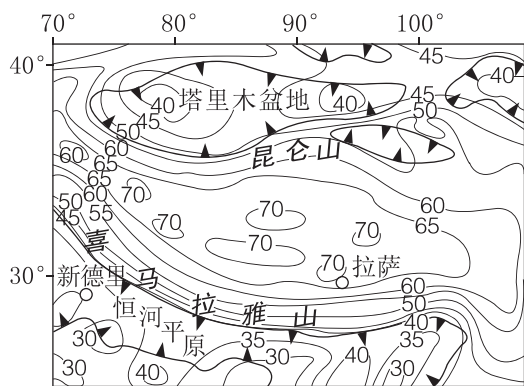
[2024·浙江9+1联盟期中] 浙江嘉兴(30°N , 120°E)某中学地理社团组织成员开展月相观测。小王同学于2023年5月22日(农历四月初四)在空中观测到清晰的明月,并用相机拍摄记录。完成9~10题。



9. 小王同学记录的月相图最有可能是 ()
- A. ① B. ② C. ③ D. ④

10. 当小王正在拍摄照片时,符合洛杉矶(34°N, 118°W)当时地理现象的是 ()
- A. 正值太阳东南高悬 B. 当地日期为 22 日
C. 正值夕阳西北低垂 D. 一年中白昼最长

[2024·浙江重点高中测试] 下图示意世界某区域地壳等厚度线分布。据此完成 11~12 题。



图例 70 地壳等厚度线(km) 断层 城市

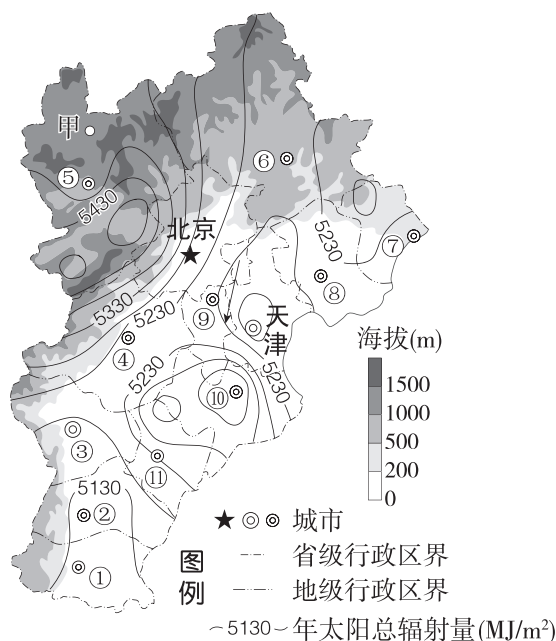
11. 据图分析可知 ()
- A. 任意两地地壳厚度差异与其相对高差大致相等
B. 喜马拉雅山脉处地壳厚度最厚
C. 图中地壳厚度大致由中部向南北两侧变薄
D. 图中所有断层均位于板块内部
12. 推测自我国东南沿海到图示区域地壳厚度大致变化是 ()
- A. 由薄变厚 B. 由厚变薄
C. 变化不大 D. 薄厚相间

[2024·浙江杭州阶段考试] 美国加利福尼亚州某大学星系演化研究中心借助 3 台望远镜获取的数据和图像发现 29 个天体拥有速度高达每秒 2500 千米的外向星风,“星风”类似于太阳日冕层释放能量时抛射高能带电粒子的不稳定现象,是天体在演化中逐渐损失质量的过程。据此完成 13~14 题。

13. 下列天体能产生“星风”现象的是 ()
- A. 哈雷彗星 B. 流星体
C. 织女星 D. 月球
14. 如果这种“星风”能够到达地球,则地球上可能出现 ()
- A. 大雁和鸽子向南迁徙
B. 无线电对讲机失效
C. 太阳能汽车无法启动
D. 杭州观察到极光

15. (20 分)[2024·浙江舟山联考] 阅读材料,完成下列问题。

材料一 下图为京津冀地区略图。下表为图中各行政区域光伏发电适宜度评价表,数值越大,越适宜光伏发电。



行政区	北京	天津	①	②	③	④	⑤	⑥	⑦	⑧	⑨	⑩	⑪
适宜度	2	2	1	4	7	8	9	10	6	5	1	1	1

材料二 2021 年京津冀地区煤炭消费占该地区能源消费总量的 70% 以上。为响应碳减排,京津冀地区大力发展光伏产业。

(1) 从地形角度,说出甲地年太阳总辐射量较多的原因。(4 分)

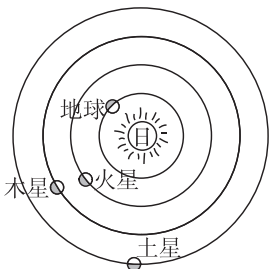
(2) 说出京津冀地区光伏发电适宜度的空间分布趋势。与①市相比,分析⑥市更适宜大规模建设光伏发电的原因。(8 分)

(3) 从碳减排的角度,说明京津冀地区大力发展光伏产业的合理性。(8 分)

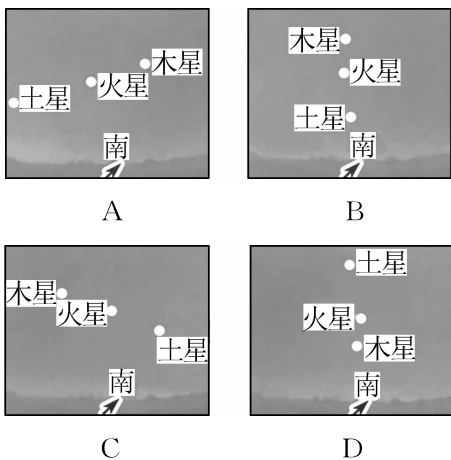


真题演练 1 地球、地图与地理信息技术

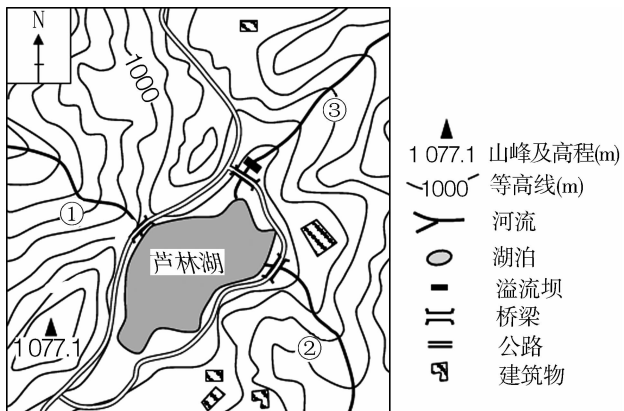
【经典真题·浙江卷】2018年2月8日,南天区出现流星雨。下图为当天从北极上空看到的太阳系部分行星位置示意图。完成1~2题。



- 流星发亮的原因是流星体 ()
 - 吸收地面长波辐射
 - 捕获太阳带电粒子
 - 摩擦地球稠密大气
 - 反射太阳短波辐射
- 当天晚上,地球上能够观察到火星、木星、土星位置关系正确的是 ()

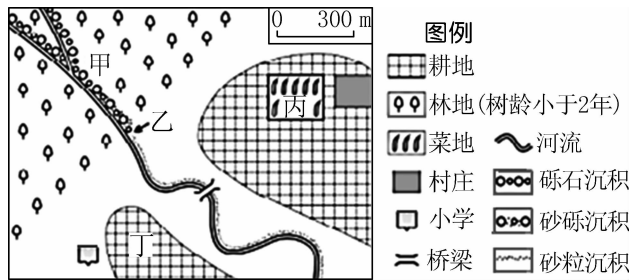


- [2022·上海卷] 下图为庐山山地(局部)等高线地形图,其中汇入芦林湖的是 ()



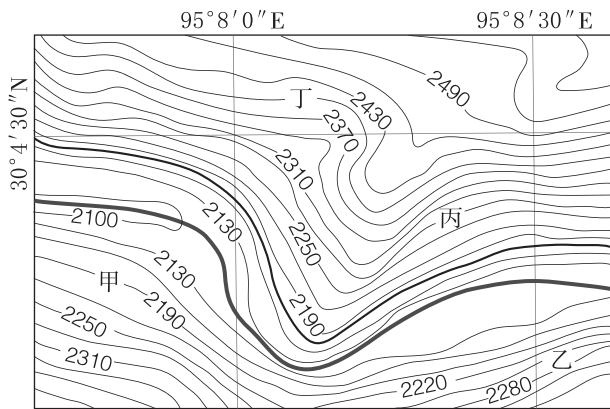
- ①②
- ①③
- ②③
- ①②③

【2022·北京卷】下图为我国山东丘陵某地土地利用示意图。读图完成第4题。

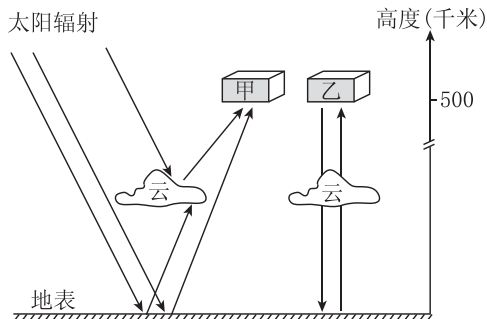


- 据图判断 ()
 - 甲处适宜建化工厂
 - 乙处河道可能有水坝
 - 林地为常绿阔叶林
 - 小学距村庄约4千米

【2024·江西卷】小东赴下图所示区域开展研学活动,发现该区域河岸冲刷严重,滑坡易发,公路安全受到威胁。在综合分析了该区域滑坡的原因及潜在风险之后,小东应用北斗卫星导航系统等地理信息技术设计了一套滑坡预警监测系统。据此完成第5题。



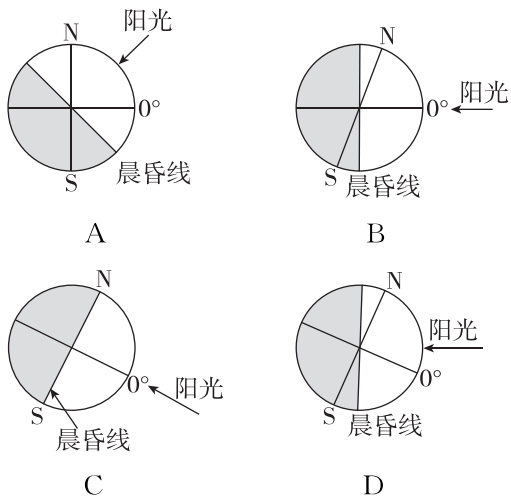
- 推断北斗卫星导航系统在该预警系统中发挥的作用是 ()
 - 采集地表形变数据
 - 分析居民点分布数据
 - 分析植被分布数据
 - 采集区域降水数据
- [2022·浙江1月选考] 下图为遥感平台及传感器信息采集示意图,说法正确的是 ()



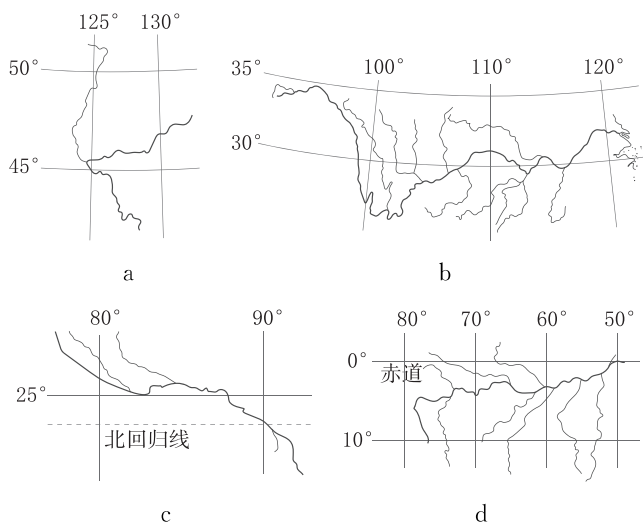
- ①甲和乙都属航空遥感
 - ②甲为被动式遥感,可全天候监测地表
 - ③甲和乙都可重复监测
 - ④乙为主动式遥感,可全天时监测地表
- ①②
 - ①③
 - ②④
 - ③④

第5讲 地球自转的意义

1. 地理课上在绘制夏至日日照图时(要求是绘制赤道、太阳光线、晨昏线、南北极点连线),同学们画出的图形不尽相同,下列四张图中绘制最为准确的是 ()



[2024·浙江绍兴联考] 地转偏向力只在物体相对于地面有运动时才产生,它只能改变水平运动物体运动的方向,不能改变物体运动的速率。下图表示四条不同的河流。读图,回答2~3题。



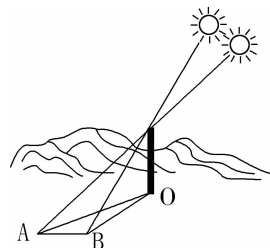
2. 如果在图中的 a、b、c、d 四河中顺流放木排,假设水文、地质条件相同,木排向河流右岸偏移最严重的河流是 ()

- A. a B. b
C. c D. d

3. 在 b 河中逆水行船,仅从节省动力角度考虑,船的航线应选在 ()

- A. 靠近河流中心航行
B. 靠向逆水的右岸航行
C. 航道最深处航行
D. 靠向顺水的右岸航行

在野外,我们可以利用太阳—标杆进行定向。标杆与地面垂直放置,把一块石头放在标杆影子的顶点 A 处,45 分钟后,标杆影子的顶点移到 B 处时再放一块石头(如下图)。据此完成 4~5 题。



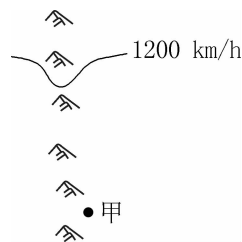
4. 太阳—标杆定向的原理是 ()

- A. 一天中,太阳在天空中的运动方向是自西向东
B. 一年中,太阳在天空中的运动方向是南北往返
C. 一年中,地球的运动方向是自西向东
D. 一天中,地球的运动方向是自西向东

5. $\angle AOB$ 约为 ()

- A. 8° B. 11° C. 15° D. 30°

读某地区地球自转线速度分布示意图,完成 6~7 题。



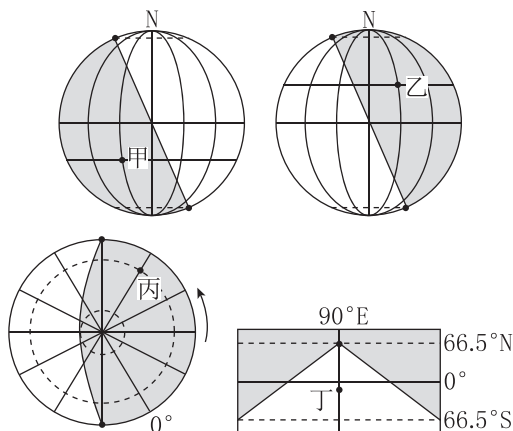
6. 图示山脉最可能位于 ()

- A. 南半球中纬度 B. 北半球中纬度
C. 南半球高纬度 D. 北半球高纬度

7. 甲地发育有一条东西向的平直河流,则侵蚀较严重的河段为其 ()

- A. 东岸 B. 南岸
C. 西岸 D. 北岸

下列各图中的灰色部分代表黑夜。据此完成 8~9 题。



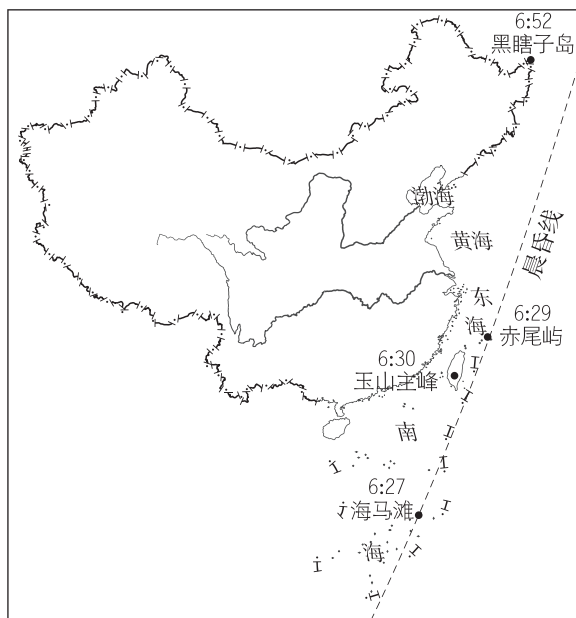
8. 下列四地中地方时相同的是 ()

A. 甲、乙 B. 甲、丙 C. 甲、丁 D. 丙、丁

9. 乙地日落地方时大约为 ()

A. 18时 B. 17时 C. 16时 D. 15时

[2024·浙江宁波二模] 最早看到日出的地点与晨昏线中晨线的位置密切相关。由于黄赤交角的存在,不同日期晨线与地球经线之间的夹角是不同的,故而让我国多地都拥有了最先目睹日出美景的可能。下图示意 2023 年元旦我国部分地方出现第一缕阳光的北京时间。据此完成 10~11 题。



10. 2023 年元旦,我国最早见到第一缕阳光的地点在 ()

A. 黑龙江抚远黑瞎子岛(48°27'N,135°05'E)
 B. 钓鱼岛群岛赤尾屿(25°54'N,124°34'E)
 C. 台湾玉山主峰(23°N,120°12'E)
 D. 南沙群岛海马滩(10°43'N,117°45'E)

11. 2023 年元旦,晨昏圈与地轴的夹角约为 ()

A. 0° B. 21.5°
 C. 23.5° D. 66.5°

2023 年 7 月 28 日至 8 月 8 日,第 31 届世界大学生夏季运动会在成都(约 31°N,103°E)举行,该赛事是国际大学生体育联合会主办的一项世界综合运动会;2023 年 9 月 23 日至 10 月 8 日,第 19 届亚运会在杭州(约 30°N,120°E)等城市举行,这是亚洲最高规格的国际综合性体育赛事。完成 12~13 题。

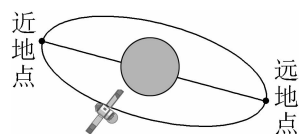
12. 以下关于赛事举办期间的说法正确的是 ()

A. 两场赛事举办期间,举办地皆昼长夜短
 B. 两场赛事举办期间,举办地皆昼渐短,夜渐长
 C. 两场赛事举办期间,举办地正午太阳高度皆逐渐增大
 D. 两场赛事举办期间,地球公转速度皆逐渐减慢

13. 北京时间 2023 年 7 月 28 日 20:00,本届世界大学生夏季运动会开幕式在成都市东安湖体育公园主体育场举行。此时,全球处于 7 月 28 日的范围占全球总面积的 ()

A. 25% B. 50%
 C. 75% D. 100%

北京时间 2023 年 5 月 30 日 18 时 22 分,“神舟十五号”航天员乘组顺利打开“家门”,欢迎远道而来的“神舟十六号”航天员乘组入驻“天宫”。随后,两个航天员乘组拍下“全家福”,共同向全国人民报平安。下图为“天宫”绕地球运行轨道示意图(注:“天宫”绕地球运行周期是约 90 分钟)。据此完成 14~15 题。



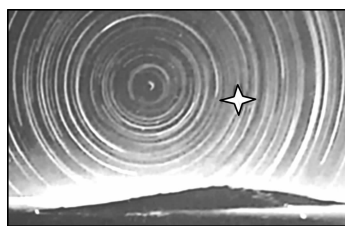
14. 远在纽约(西五区)的小华想要同步观看欢迎过程,他的观看时间是 ()

A. 5 月 31 日 5:22 B. 5 月 30 日 7:22
 C. 5 月 30 日 5:22 D. 5 月 29 日 7:22

15. 如果此时地球上 0°经线刚好正对着“天宫”远地点,则“天宫”绕地球 4 圈后,正对近地点的经线约是 ()

A. 45°W B. 90°W C. 45°E D. 90°E

下图为济南某中学地理研究性学习小组的同学在野外宿营时,用相机长时间曝光,拍摄得到的北极星附近星辰的“运动”轨迹的照片。据图完成 16~17 题。



16. 某一遥远的恒星 A 在该日 22 时位于图中的☆位置,次日该恒星处于星空同样位置的时间间隔是 ()

A. 1 恒星日 B. 1 太阳日
 C. 24 时 3 分 56 秒 D. 23 时 56 分 6 秒

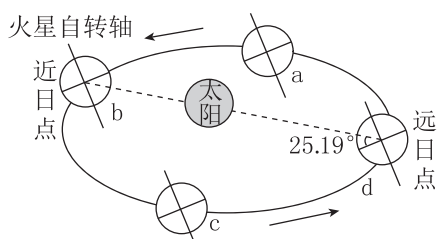
A. 1 恒星日 B. 1 太阳日
 C. 24 时 3 分 56 秒 D. 23 时 56 分 6 秒

17. 若图中某恒星视运动转过的角度约 30°,则长曝光技术拍摄的时间约为 ()

A. 30 分钟 B. 1 小时
 C. 2 小时 D. 4 小时

第6讲 地球公转的意义

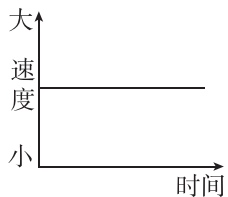
[2024·浙江宁波模拟]“祝融号”为“天问一号”任务火星车,设计寿命为90个火星日,约为地球上3个月。2021年5月15日“天问一号”着陆器成功着陆于火星乌托邦平原(25°N附近),22日“祝融号”火星车驶离着陆平台到达火星表面,开始巡视探测。2022年7月中旬为火星北半球冬至前后,为应对可能的恶劣环境,“祝融号”于2022年5月18日转入休眠模式,在火星表面累计行驶1921米,获取了大量宝贵资料,为后续的火星探索提供了数据支撑。火星自转与公转轨道平面夹角为25.19°,下图为火星绕日公转示意图。据此完成1~2题。



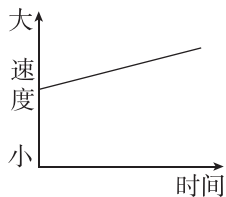
- 火星自转周期大约为地球自转周期的 ()
A. 1/3倍 B. 1倍
C. 2倍 D. 3倍
- “祝融号”转入休眠模式时,大致位于火星公转轨道的位置是 ()
A. a→b B. b→c
C. c→d D. d→a

[2024·浙江台州联考]北京时间2022年6月5日10时44分,“神舟十四号”载人飞船在酒泉卫星发射中心成功发射。3位宇航员在空间站生活6个月,飞船于北京时间2022年12月4日20时9分顺利返回。完成3~4题。

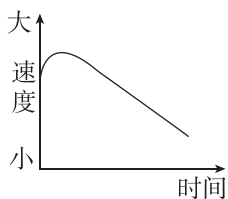
- 符合航天员驻留空间站期间,地球公转角速度变化的是 ()



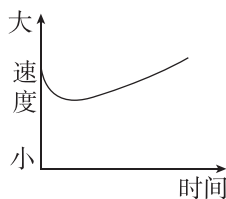
A



B



C

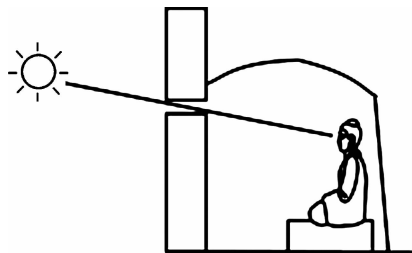


D

- 宇航员顺利返回的当天,某地开始了漫长极昼,该地前一天的日出方位是 ()

- A. 东南 B. 东北
C. 接近正南 D. 接近正北

[2024—2025·浙江宁波阶段练习]每年的11月22日前后,南京栖霞区的三圣殿内一天某个时段都会定期上演“佛光”奇景——阳光穿过三圣殿窗户落在无量寿佛的右眼睛,形成耀眼的光斑,之后一段时间内光斑会按一定规律移动。无量寿佛建于一千多年前,高9.31米,面朝南偏西,之后又兴建三圣殿。下图为三圣殿“佛光”示意图。完成5~6题。



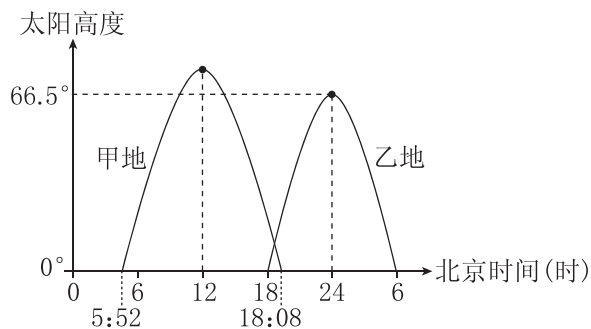
- 光斑出现的时段和移动方向为 ()

- A. 10:00—10:30,由右眼移向眉心
B. 15:00—15:30,由右眼移向眉心
C. 10:00—10:30,由右眼移向鼻尖
D. 15:00—15:30,由右眼移向鼻尖

- 从地理学角度理解,当时设计“佛光”出现的时间主要考虑 ()

- A. 正午太阳高度大,佛光相对清晰
B. 日出后太阳高度小,三圣殿高度小
C. 日落前太阳高度小,佛像高度大
D. 太阳高度日变化小,佛光易出现

[2024·浙江强基联盟模拟]下图为甲、乙两地某日从日出到日落太阳高度日变化示意图,其中甲地位于北半球。读图完成7~8题。



- 据图推测,乙地位于 ()

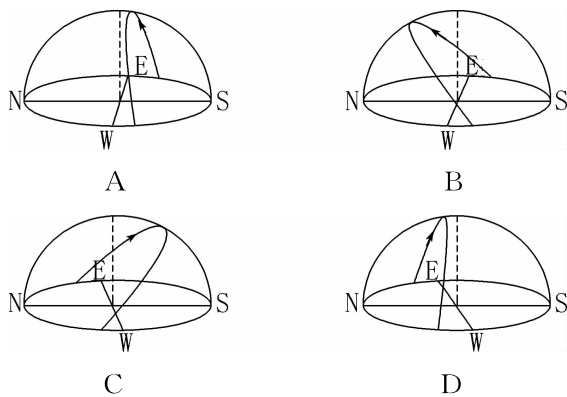
- A. 西半球赤道上
B. 西半球北回归线上
C. 东半球赤道上
D. 东半球北回归线上

8. 据图推测,该日应该是 ()

- A. 春分日
- B. 夏至日
- C. 秋分日
- D. 冬至日

[2024·浙江嘉兴联考] 2022年11月15日至16日G20(二十国集团)峰会在印度尼西亚巴厘岛(约8°S)举行,峰会决定,印度从2022年12月1日0时(印度标准时间,为82.5°E地方时)起,正式担任G20轮值主席国。完成9~10题。

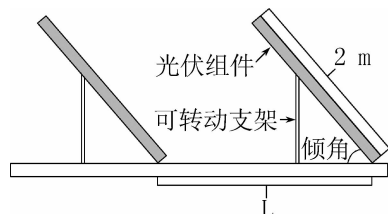
9. 会议开始当日,巴厘岛当地观测到的太阳视运动状况是 ()



10. 当印度正式担任 G20 轮值主席国时 ()

- A. 索马里沿岸洋流自南向北
- B. 全球新的一天范围小于 1/2
- C. 澳大利亚西北部盛行东南风
- D. 浙江省昼短夜长,且越往南昼越短

在光伏电站工程中,绝大多数支架为固定支架。我国湖北省某地(31.5°N,113.5°E)海拔65米,固定支架光伏组件的倾角一般为14°,且朝向正南方向。目前该地将部分光伏组件改成可转动支架(如下图所示)以提高对太阳辐射的利用率($\sin 14^\circ \approx 0.24$, $\cos 14^\circ \approx 0.97$, $\sin 35^\circ \approx 0.57$, $\cos 35^\circ \approx 0.82$)。据此完成11~12题。



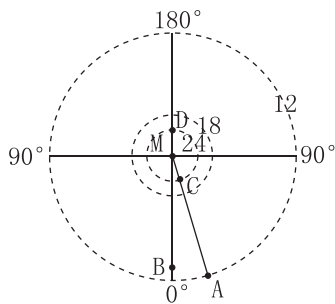
11. 若将支架改为可转动型,则北京时间12时光伏组件应朝向 ()

- A. 西北
- B. 西南
- C. 东北
- D. 东南

12. 为避免遮蔽阳光和浪费土地,改为可转动支架后两组光伏组件的距离L大约为 ()

- A. 2.1米
- B. 2.4米
- C. 3.5米
- D. 8.3米

[2024·浙江绍兴二模] 下图为某半球某日(此刻,全球处于同一天)的等昼长线分布图(单位:小时),MA为东、西半球分界线之一,B、C点的纬度分别为12°、71°。读图,完成13~14题。



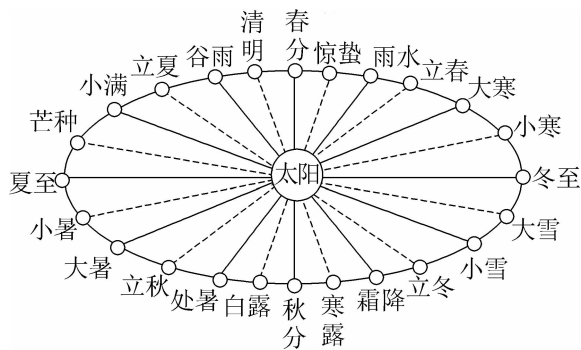
13. 图示时刻,A、C两点的太阳方位分别为 ()

- A. 东南、东北
- B. 东北、东南
- C. 西南、西北
- D. 西北、西南

14. 图示时刻,B、D两点的太阳高度差值为 ()

- A. 45°
- B. 59°
- C. 83°
- D. 90°

“昨夜春雷作,荷锄理南陂。杏花将及候,农事不可迟。蚕女亦自念,牧童仍我随。田中逢老父,荷杖独熙熙。”这首诗选自宋朝诗人所作的《田家四时》。下图为二十四节气太阳在黄道上的位置变化图。据此完成15~16题。



15. 此节气时 ()

- A. 太阳直射点位于南半球,且贵阳昼短夜长
- B. 太阳直射点位于南半球,且悉尼昼短夜长
- C. 太阳直射点位于北半球,且贵阳昼短夜长
- D. 太阳直射点位于北半球,且悉尼昼短夜长

16. 下列各组节气中,北京昼长相近的是 ()

- A. 立春和立秋
- B. 惊蛰和寒露
- C. 谷雨和雨水
- D. 立夏和夏至



答题突破 1 地理位置的判断与描述

1. (3分) 阅读图文材料, 完成下列要求。

材料一 厄立特里亚是我国“一带一路”农业交流合作的重要国家之一。该国经济落后, 以旱地农业为主, 传统能源主要依赖生物燃料, 电力严重缺乏。中国农企研究工作站在当地援建光伏动力滴灌工程, 并辅以膜下滴灌技术。

材料二 下图为厄立特里亚位置示意图。

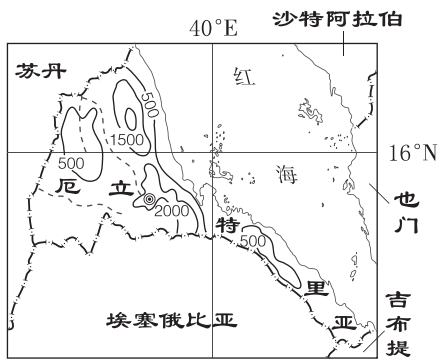
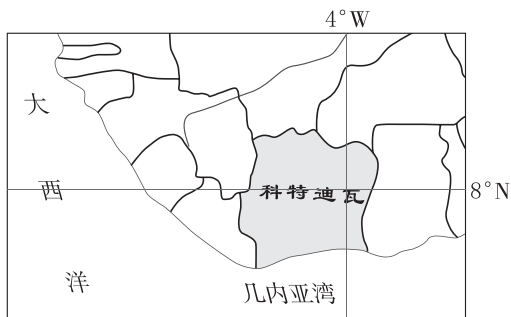


图 ①首都 ———— 国界 - - - 季节性河流
例 ~ 500 ~ 等高线(m)

描述厄立特里亚的地理位置。

2. (3分) 阅读图文材料, 完成下列要求。

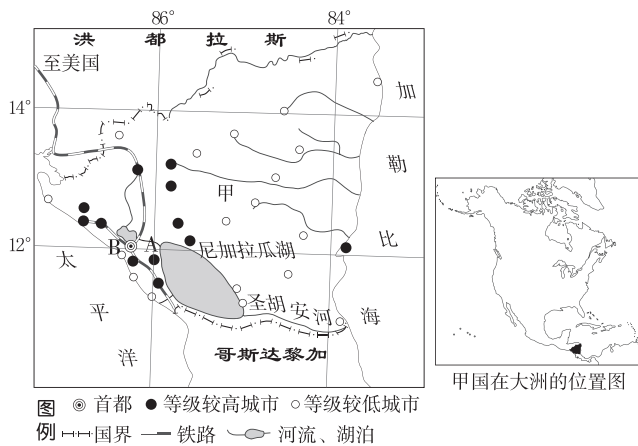
材料 科特迪瓦过去叫“象牙海岸”。这个国家在 20 世纪 50 年代曾有 10 万多头大象, 现在虽说象的头数逐渐减少, 但在科特迪瓦仍然会感到一切都与大象结下不解之缘。国徽上印有大象, 邮票上有大象, 商品广告上有大象, 洲际旅馆称“象牙旅馆”, 最好的报纸叫《象牙晚报》, 国家足球队称“大象队”, 科特迪瓦人也称自己为“象牙人”。



描述科特迪瓦的地理位置特征。

3. (5分) 阅读图文材料, 回答下列问题。

下图是甲国地图。甲国是美国重要的服装进口国, 服装生产中心在 A 城, 首都 B 城是该国重要的工业中心, 纺织、食品、制糖是其主要工业部门。

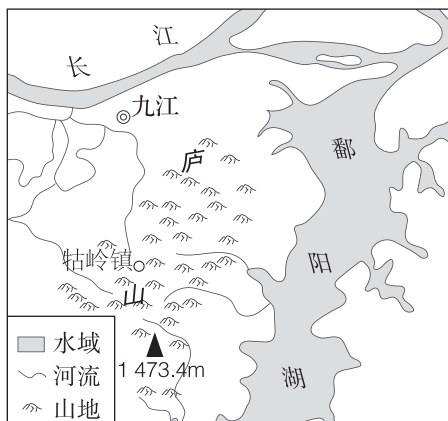


根据甲国的地理位置特点, 说明其优越性。

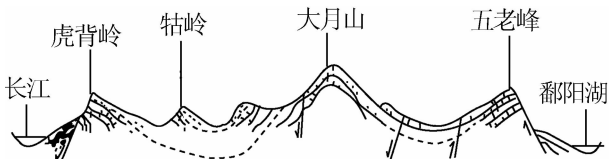


图形解读 1 地质剖面图

[2024—2025·浙江 A9 协作体返校联考] 世界地质公园庐山是一座地处亚热带的块状山,植被茂盛,云雾缭绕。图甲为庐山位置示意图,图乙为沿庐山西北—东南向绘制的地质剖面图。完成 1~2 题。



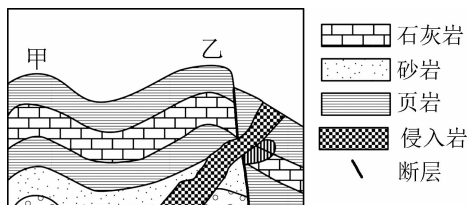
甲



乙

1. 图中属于背斜山的是 ()
A. 虎背岭 B. 牯岭
C. 大月山 D. 五老峰
2. 推测庐山的形成过程是 ()
A. 挤压弯曲—地壳抬升—岩层断裂—外力侵蚀
B. 挤压弯曲—岩层断裂—地壳抬升—外力侵蚀
C. 地壳抬升—外力侵蚀—岩层断裂—挤压弯曲
D. 挤压弯曲—外力侵蚀—岩层断裂—地壳抬升

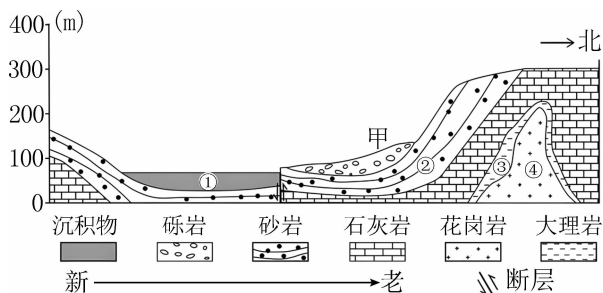
[2024·浙江金丽衢十二校联考] 下图为某地地质剖面示意图。完成 3~4 题。



3. 该地区经历的部分地质过程顺序正确的是 ()
A. 冷却凝结—褶皱隆升—断层错位
B. 岩浆入侵—断层错位—褶皱隆升
C. 褶皱隆升—断层错位—冷却凝结
D. 褶皱隆升—岩浆入侵—断层错位
4. 在地质平面图中,沿甲地到乙地岩层新老关系的判断,正确的是 ()
A. 先由新变老,再变新

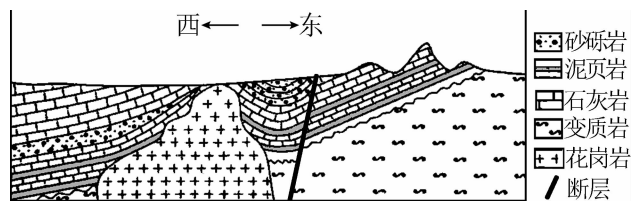
- B. 一直变老
- C. 先由老变新,再变老
- D. 一直不变

[2024·浙江湖州期末联考] 下图为某地地质剖面图。完成 5~6 题。



5. ①②③④四种岩石或岩层中 ()
A. ①层理较明显,可以找到化石
B. ②岩石形成时,水流速度较快
C. ③是在④的基础上变质形成
D. ④的粒径较大,可做建筑材料
6. 甲处 ()
A. 岩层受挤压在断层发生前,形成向斜
B. 因断层下陷并被侵蚀形成背斜谷地
C. 岩层紧实坚固,适于开凿隧道
D. 向下可能找到石油或天然气

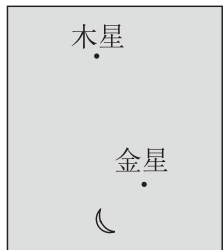
[2024—2025·浙江嘉兴海宁期末] 下图为某区域的地质剖面图,该区域的沉积岩层中富含地下水,但东、西两侧的地下水互不连通,形成两个独立的地下水系统。据此完成 7~8 题。



7. 图中地表海拔最高处的山峰形成于 ()
A. 火山喷出物质的持续堆积作用
B. 板块边界的碰撞挤压作用
C. 背斜顶部岩层受水平挤压作用
D. 上覆岩层的差别侵蚀作用
8. 导致该区域地下水系统分为东、西两部分的主要原因是 ()
A. 岩浆侵入隔断
B. 岩层断裂分割
C. 两侧岩性差异
D. 岩层褶皱变形

热点压轴 选择题(一) 天体的观测

“金星伴月”是最好看的“星月童话”，这是因为通常情况下，金星和月亮是夜空中最亮的两个天体，且二者相伴时，月相一定是如钩般的蛾眉月或残月。下图为“金星伴月”示意图。完成1~2题。

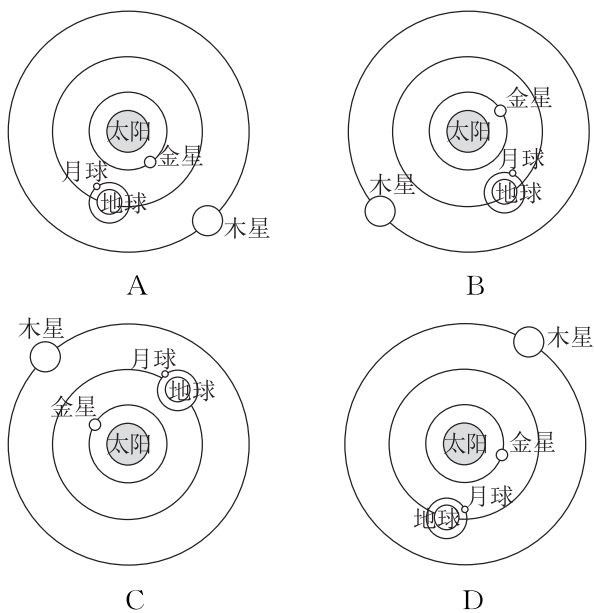


1. 最可能观测到“金星伴月”天象的农历时间是 ()

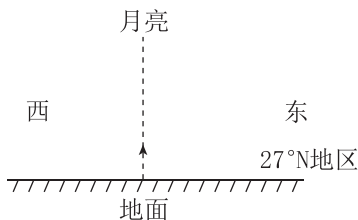
- ①初一至初五 ②初七至十五 ③十五至廿 ④廿五至廿八

- A. ①② B. ①④ C. ②③ D. ③④

2. 下列所示天体位置能够观测到图示“金星伴月”天象的是 ()



2023年1月7日子夜，位于我国约27°N地区的民众目睹到大约18年才出现一次的“头上有明月，脚下无暗影”的有趣景象。月亮高悬在当地公众的头顶，月光垂直照射地面，呈现“月心、人心、地心三心一线”的奇观。据此完成3~4题。



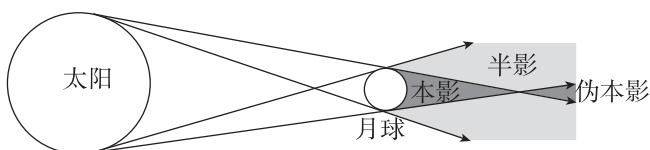
3. 该日民众看到的月相最接近 ()

- A. 满月 B. 上弦月
C. 新月 D. 下弦月

4. 该日广州月亮升到最高处时方位大致在 ()

- A. 东边地平线附近天空
B. 西边地平线附近天空
C. 南边头顶附近天空
D. 北边头顶附近天空

当月影正好落到地球上时就发生日食现象(下图)。2023年4月20日天空上演2023年度第一次日食，这次日食比较特殊，是罕见的日全环食(日全环食是在食带内日食开始和终了的时候是环食，但中间有一段时间可以看到全食，是日全食和日环食的组合)。据下图完成5~6题。



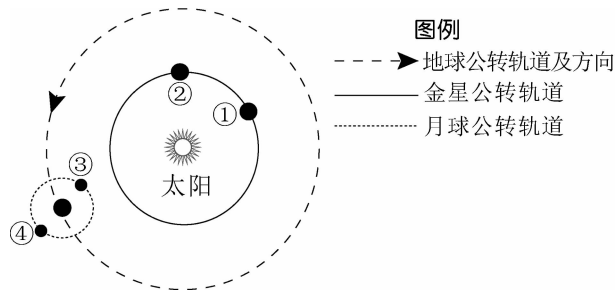
5. 当日的月相是 ()

- A. 新月 B. 蛾眉月 C. 凸月 D. 满月

6. 日全环食非常罕见的原因是 ()

- A. 日食少见 B. 地球位置特殊
C. 食带窄短 D. 观察角度特殊

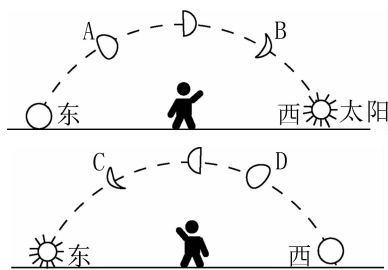
“月掩金星”是指金星被月球掩盖的自然现象，与日全食的原理相似。2023年3月24日(农历闰二月初三)，我国部分地区观测到了这一难得的天文奇观。下图为部分天体及轨道示意图。据此完成7~8题。



7. 本次“月掩金星”发生时，金星和月球可能分别位于 ()

- A. ①③ B. ①④ C. ②③ D. ②④

8. 本次“月掩金星”发生当天可观察到的月相是 ()



- A. A B. B C. C D. D